

§. 部分波解析

ポテンシャルがないとき

$$-\frac{\hbar^2}{2\mu} \nabla^2 \psi = \underbrace{E}_{\frac{\hbar^2 k^2}{2\mu}} \psi$$

$$\psi(r) = e^{i\mathbf{k}\cdot\mathbf{r}} = e^{ikr\cos\theta} \quad (\mathbf{k} \parallel \mathbf{e}_z)$$

・ 部分波展開

$$e^{ikr\cos\theta} = \sum_{l=0}^{\infty} (2l+1) i^l \underbrace{j_l(kr)}_{\text{球ハルメル関数}} \underbrace{P_l(\cos\theta)}_{\text{ルジャンドル多項式}}$$

(証明) $e^{ikr\cos\theta} = \sum_l a_l(r) P_l(\cos\theta)$ と展開する。

(note) $\int_{-1}^1 P_l(x) P_{l'}(x) dx = \frac{2}{2l+1} \delta_{ll'}$

↓ $a_l(r) = \frac{2l+1}{2} \int_{-1}^1 d(\cos\theta) e^{ikr\cos\theta} P_l(\cos\theta)$

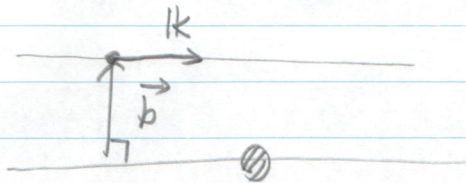
(note) $j_l(y) = \frac{1}{2i^l} \int_{-1}^1 dx e^{ixy} P_l(x)$

↓ $a_l(r) = (2l+1) i^l j_l(kr)$

$$e^{i\vec{k}\cdot\vec{r}} = \sum_{l=0}^{\infty} (2l+1) i^l j_l(kr) P_l(\cos\theta)$$

↓ 平面波には全ての部分波 (角運動量) l が混ざっている。

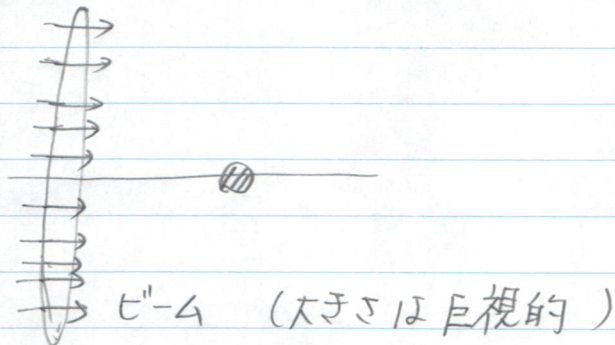
(note) 衝突係数 (impact parameter)



$$\vec{l} = \vec{r} \times \vec{p} \rightarrow l = \textcircled{b} k \hbar$$

衝突係数

↓ $\sum_{l=0}^{\infty} \dots \leftrightarrow$ いろいろな衝突係数が合わさっている。



高エネルギー: ホール近似がOK
平面波を使って角運動量が陽に
現れない議論ができた。

低エネルギー: 各 l ごとに考える必要がある
→ 部分波解析

・部分波解析

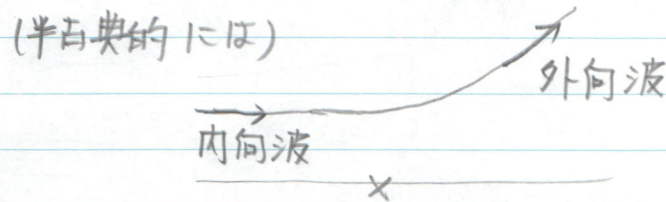
$$\psi(r) = e^{ikr \cos \theta} = \sum_{l=0}^{\infty} (2l+1) i^l j_l(kr) P_l(\cos \theta)$$

$r \rightarrow \infty$ を考える (検出器のあたりにおける振るまい)

$$j_l(kr) \rightarrow \frac{1}{kr} \sin(kr - \frac{l\pi}{2}) \quad (kr \rightarrow \infty)$$

$$= \frac{1}{2ikr} (e^{i(kr - \frac{l\pi}{2})} - e^{-i(kr - \frac{l\pi}{2})})$$

$$\downarrow \psi(r) \rightarrow \frac{i}{2kr} \sum_l (2l+1) i^l \left[\underbrace{e^{-i(kr - \frac{l\pi}{2})}}_{\text{内向波}} - \underbrace{e^{i(kr - \frac{l\pi}{2})}}_{\text{外向波}} \right] P_l(\cos \theta)$$



(短距離)

ポテンシャルがある場合

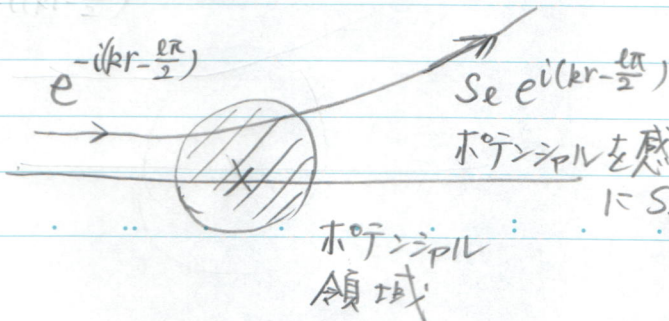
$r \rightarrow \infty$ ならば $V(r) \rightarrow 0$

↓ 波動関数の漸近形は自由粒子の場合と同様 内向波と外向波の線形結合

$$\downarrow \psi(r) \rightarrow \frac{i}{2kr} \sum_l (2l+1) i^l \left[e^{-i(kr - \frac{l\pi}{2})} - S_l e^{i(kr - \frac{l\pi}{2})} \right] \times P_l(\cos \theta)$$

「S行列」

ポテンシャルの効果を反映



* 実ポテンシャルならば

$$|S_l| = 1$$

(77-77の保存)

$$\begin{aligned}
 \psi(r) &\rightarrow \frac{i}{2kr} \sum_l (2l+1) i^l \left[\underbrace{e^{-i(kr-\frac{l\pi}{2})} - S_l e^{i(kr-\frac{l\pi}{2})}}_{-e^{i(kr-\frac{l\pi}{2})} + e^{i(kr-\frac{l\pi}{2})}} \right] P_l(\cos\theta) \\
 &= e^{ik \cdot r} + \frac{i}{2kr} \sum_l (2l+1) \underbrace{i^l e^{-i\frac{l\pi}{2}}}_{i^l \cdot (-i)^l = 1} e^{ikr} (1 - S_l) P_l(\cos\theta) \\
 &= e^{ik \cdot r} + \underbrace{\left[\sum_l (2l+1) \frac{S_l - 1}{2ik} P_l(\cos\theta) \right]}_{f(\theta)} \cdot \frac{e^{ikr}}{r}
 \end{aligned}$$

・ 全断面積

$$\frac{d\sigma}{d\Omega} = |f(\theta)|^2$$

$$\sigma = \int d\Omega |f(\theta)|^2$$

$$= \sum_{l, l'} (2l+1)(2l'+1) \frac{S_l - 1}{2ik} \cdot \frac{S_{l'} - 1}{-2ik} \underbrace{\int d\Omega P_l(\cos\theta) P_{l'}(\cos\theta)}_{\frac{4\pi}{2l+1} \delta_{l, l'}}$$

$$= \frac{\pi}{k^2} \sum_l (2l+1) |S_l - 1|^2$$

◦ 位相のずれ (phase shift)

弾性散乱しか考えないときは $|S_e| = 1$ (フラックスの保存)

→ $S_e = e^{2i\delta_e}$ と書くと:

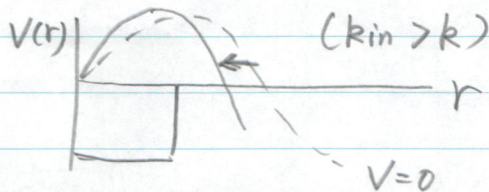
$$e^{-i(kr - \frac{l\pi}{2})} - S_e e^{i(kr - \frac{l\pi}{2})}$$

$$= e^{i\delta_e} [e^{-i(kr - \frac{l\pi}{2} + \delta_e)} - e^{i(kr - \frac{l\pi}{2} + \delta_e)}]$$

$$= -2i e^{i\delta_e} \sin(kr - \frac{l\pi}{2} + \delta_e)$$

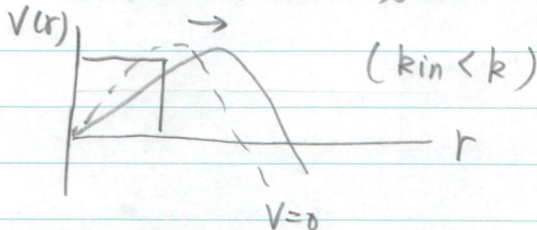
(自由粒子と比較して
 δ_e だけ位相がずれた)

引力ポテンシャルの場合



$\delta_e > 0$

斥力ポテンシャルの場合



$\delta_e < 0$

(note) $\delta_e(kr) \rightarrow \frac{1}{kr} \sin(kr - \frac{l\pi}{2})$

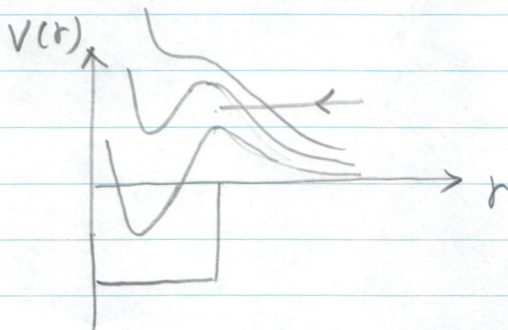
遠心力ポテンシャル $\frac{l(l+1)\hbar^2}{2\mu r^2}$ による
位相のずれ
: (マイナス符号に注目)

§ 低エネルギー - 散乱と散乱長

$$\psi(r) = \frac{u_l(r)}{r} Y_{lm}(\hat{r}) \quad \text{と書くと}$$

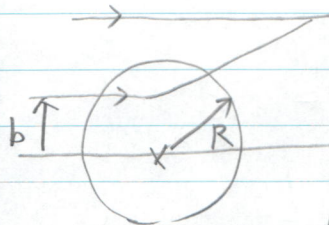
$$\left(-\frac{\hbar^2}{2\mu} \frac{d^2}{dr^2} + V(r) + \frac{l(l+1)\hbar^2}{2\mu r^2} - E \right) u_l(r) = 0$$

遠心力ポテンシャル



反射が起きるためには
ポテンシャルのレンジで
トンネルしなければなら
ない

↓
大きな l は寄与しない。



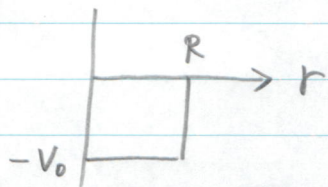
古典的には標的から
相互作用レンジ R の内側
に入る部分波 (b ≤ R) のみ
が寄与 → l_{max} = kR

↓ 部分波解析は低エネルギー
で特に有効。

E ~ 0 時は l=0 のみが寄与

以下, E ~ 0, l=0 を考える。

(例) 井戸型ポテンシャル



$$V(r) = \begin{cases} -V_0 & (r \leq R) \\ 0 & (r > R) \end{cases}$$

波動関数:
$$u_0(r) = \begin{cases} A \sin \tilde{k} r & (r \leq R) \\ B \sin kr + C \cos kr & (r > R) \end{cases}$$

$$k = \sqrt{\frac{2\mu E}{\hbar^2}}, \quad \tilde{k} = \sqrt{\frac{2\mu}{\hbar^2} (E + V_0)}$$

(note)

$$B \sin kR + C \cos kR = B \left(\sin kR + \frac{C}{B} \cos kR \right)$$

||

$$\begin{aligned} B' \sin(kR + \delta) &= B' (\sin kR \cos \delta + \cos kR \sin \delta) \\ &= B' \cos \delta (\sin kR + \tan \delta \cos kR) \end{aligned}$$

$$\Rightarrow \tan \delta = \frac{C}{B}$$

$r = R$ の波動関数の接続

$$\begin{cases} A \sin \tilde{k} R = B \sin kR + C \cos kR \\ A \tilde{k} \cos \tilde{k} R = B k \cos kR - C k \sin kR \end{cases}$$

↓

$$\frac{1}{\tilde{k}} \frac{\sin \tilde{k} R}{\cos \tilde{k} R} = \frac{\sin kR + \frac{C}{B} \cos kR}{k \cos kR - \frac{C}{B} k \sin kR}$$

$$\Rightarrow \tan \delta = \frac{C}{B} = \frac{k \cos kR \sin \tilde{k} R - \tilde{k} \sin kR \cos \tilde{k} R}{\tilde{k} \cos \tilde{k} R \cos kR + k \sin kR \sin \tilde{k} R}$$

$$\sim \frac{\sin \tilde{k} R - \tilde{k} R \cos \tilde{k} R}{\tilde{k} \cos \tilde{k} R} \cdot k \quad (k \rightarrow 0)$$

$$\Rightarrow k \cot \delta = \frac{\tilde{k} \cos \tilde{k} R}{\sin \tilde{k} R - \tilde{k} R \cos \tilde{k} R} = \text{const.}$$

$$\equiv -\frac{1}{a} \quad (a: \text{散乱長})$$

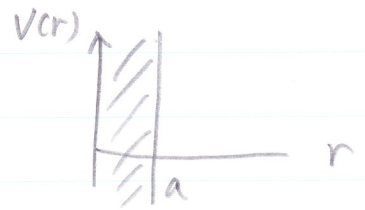
(note) $l \neq 0$ のときは $\delta_l \propto k^{2l+1}$ となる。

(note) $E \ll |V_0|$ のとき, $k \rightarrow -k$ に δ は
 $\tan \delta \rightarrow -\tan \delta$

$$\Rightarrow k \cot \delta \sim -\frac{1}{a} + \frac{1}{2} \underbrace{r_{\text{eff}}}_{\text{有効距離}} k^2 + \dots$$

cf. 剛体球による散乱 (s-wave)

$$V(r) = \begin{cases} \infty & (r < a) \\ 0 & (r \geq a) \end{cases}$$



$$u(r) = \sin(kr + \delta)$$

$$u(r=a) = 0 \quad \leadsto \quad ka + \delta = 0$$

$$\leadsto \quad \underbrace{\frac{k}{\delta}}_S = -\frac{1}{\underbrace{a}_{\text{散乱長}}}$$

$$k \cot \delta$$

散乱長 \leftrightarrow 剛体球の半径.

$$k \cot \delta \sim -\frac{1}{a} + \frac{1}{2} r_{\text{eff}} k^2$$

井戸型ポテンシャルに限らず、他のポテンシャルでも同じ振るまいをする。

↓ 低エネルギー- 散乱は a, r_{eff} の 2 つの パラメータのみで記述でき、ポテンシャルの詳細にはよらない。(ポテンシャルの詳細を知るためには高エネルギー- 散乱が必要。)

• 散乱長の意味

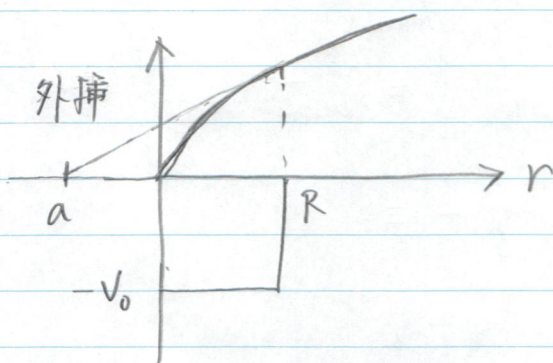
$$r \geq R \quad U_0(r) \propto \sin(kr + \delta) \sim kr + \delta \quad (k \rightarrow 0)$$

$$= k\left(r + \frac{\delta}{k}\right)$$

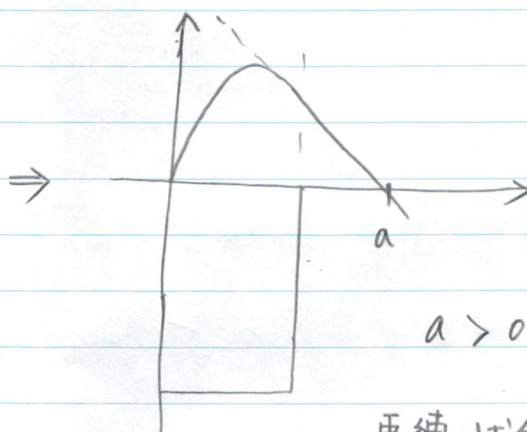
$$-a = k \cot \delta \sim \frac{k}{\delta} \quad (k \rightarrow 0)$$

$$\Downarrow U_0(r) \propto (r-a) \quad (k \rightarrow 0)$$

これは $r=a$ でゼロ。



$a < 0$



$a > 0$

束縛状態があるとき

ゼロ-エネルギー- で束縛するとき
 $a = \infty$ (ユ=タリ- 極限)